

КРАТКИЕ СООБЩЕНИЯ

УДК 538.915:539.2:546.514.9

© 1993

МЕХАНИЗМ СТАБИЛИЗАЦИИ КУБИЧЕСКОЙ ФАЗЫ ZrO_2

*И.И.Наумов, Г.А.Ольховский,
О.И.Великохатный, Н.Н.Апаров*

1. Диоксид циркония, ZrO_2 , относят к перспективным материалам высокотемпературной техники. При понижении температуры ниже 2600 К его высокотемпературная кубическая (*c*) модификация со структурой флюорита становится нестабильной и переходит в тетрагональную (*t*) с удвоением числа атомов на ячейку ($3 \rightarrow 6$) [1]. Для предотвращения $c \rightarrow t$ перехода (оно сопровождается увеличением объема и способно привести к растрескиванию материала) кубическую фазу "стабилизируют" добавлением структурно близких оксидов, таких как CaO , Y_2O_3 и др. [2]. Хотя механизм стабилизирующего влияния ионов Ca^{2+} , Y^{3+} , а также связанных с ним кислородных вакансий остается пока неясным, в понимании геометрии и движущих сил самого $c \rightarrow t$ перехода достигнуты определенные успехи.

Согласно [1,3], $c \rightarrow t$ переход заключается в конденсации продольной оптической моды колебаний (*LO*) с волновым вектором $\mathbf{k} = (0, 0, 2\pi/a)$ (точка *X* зоны Бриллюэна), приводящей к перетасовочному смещению ионов кислорода вдоль кристаллографической оси $\langle 001 \rangle$ (см. рисунок). Конденсация моды сопровождается однородной тетрагональной дисторсией решетки, причем $e_{xx} = e_{yy} \neq e_{zz}$. Переход $c \rightarrow t$ может идти вторым родом, поскольку в разложении свободной энергии по степеням параметра порядка (смещениям u в моде *LO*) нет кубического инварианта [1,3].

Расчеты квадрата частоты ω^2 моды *LO* методом ЛППВ с "полным" потенциалом показали, что $\omega^2 < 0$, т.е. при $T = 0$ К кубическая фаза была бы механически неустойчивой [4]. Ее стабилизация при высоких температурах возникает благодаря ангармоническим эффектам, приводящим к перенормировке квадрата ω^2 (он становится положительным).

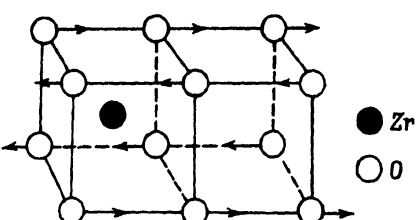


Рис. Смещения атомов, отвечающие продольной оптической моде колебаний с $\mathbf{k}(0, 0, 2\pi/a)$.

Константы Маделунга для
кубической (*c*), промежуточной
(*i*) и тетрагональной (*t*) структур

	<i>c</i>	<i>i</i>	<i>t</i>
α_{11}	-2.484655	-2.484655	-2.484628
α_{22}	-6.150415	-6.184307	-6.188436
α_{12}	-0.869179	-0.832715	-0.829467

К сожалению, работа [4] не дает ответа на вопрос о том, какие взаимодействия ответственны за развитие неустойчивости *c*-фазы при ее охлаждении. Попытке определить такие взаимодействия и на этой основе предложить механизм стабилизации данной фазы и посвящено настоящее сообщение.

2. Поскольку силы связи в *c*-фазе ZrO_2 носят преимущественно ионный характер [4-7], рассмотрим энергетику $c \rightarrow t$ перехода в чисто ионной системе, т.е. системе, состоящей из положительных ($z_1 = z_{Zr} = 4$) и отрицательных ($z_2 = z_0 = -2$, $z_2 = -z_1/2$) точечных зарядов. Для удобства анализа будем полагать, что переход $c \rightarrow t$ осуществляется в два этапа. Первый этап отвечает "вмораживанию" оптической моды *LO* с амплитудой $u = 0.65a$ (a — параметр решетки), а второй — тетрагональному искажению решетки, характеризующемуся деформациями $e_{xx} = e_{yy} = -0.002$ и $e_{zz} = 0.023$ [1]. Энергия системы точечных зарядов (в целом электронейтральной ячейки, так как $z_1 + 2z_2 = 0$) есть, как известно, электростатическая энергия Маделунга. В расчете на "молекулу" ZrO_2 ее удобно представить в виде

$$E = (z_1^2 \alpha_{11} + z_2^2 \alpha_{22} + z_1 z_2 \alpha_{12}) / 2r_0, \quad (1)$$

где α_{11} , α_{22} и α_{12} — константы Маделунга, характеризующие взаимодействие ионов $Zr-Zr$, $O-O$, и $Zr-O$; $r_0 = (3\Omega/4\pi)$; Ω — объем, приходящийся на "молекулу" ZrO_2 . Рассчитанные методом Эвальда-Фукса константы Маделунга α_{11} , α_{12} и α_{22} для *c*- и *t*-структур, а также для промежуточной *i*-структуры, отвечающей первому этапу $c \rightarrow t$ перехода, приведены в таблице.

Предположим, что заряды z_1 и z_2 , а также объем Ω в процессе превращения не изменяются, тогда константы α_{ij} дают исчерпывающую информацию об изменении энергии при переходах $c \rightarrow i \rightarrow t$. Прежде всего заметим, что при переходе $c \rightarrow i$ та часть энергии, которая обусловлена взаимодействием пар $Zr-Zr$, не изменяется, поскольку константы α_{11} в *c*- и *i*-структурах совпадают (это, очевидно, связано с тем, что конденсация моды *LO* соответствует лишь смещению ионов O). Вклады же в E , связанные с взаимодействием пар $Zr-O$ и $O-O$, уменьшаются, несмотря на то что, например, константа α_{12} возрастает; последнее обусловлено тем обстоятельством, что произведение зарядов $z_1 \cdot z_2$ отрицательно. Таким образом, при $c \rightarrow i$ переходе электростатическая энергия системы уменьшается, причем как за счет межионных взаимодействий $Zr-O$, так и $O-O$. Этот вывод сохраняется и в случае $i \rightarrow t$ перехода с той лишь поправкой, что изменения энергий в этом случае оказываются на порядок меньшими (см.таблицу). Последнее естественно, поскольку тетрагональные деформации представляют собой лишь аккомодацию решетки к статической волне *LO*-смещений. Причины уменьшения электростатической энергии в рамках принятой модели "жестких" ионов ($z_1, z_2 = \text{const}$) при $c \rightarrow i$ переходе нетрудно понять. Как уже упоминалось, квадрат частоты моды *LO* определяется лишь взаимодействием ионных пар $Zr-O$ и $O-O$. Если эти взаимодействия ограничить кратчайшими расстояниями, то их вклад в ω^2 окажется пропорциональным со-

ответственно

$$[f''_{12} + 2f'_{12}/r] / m \Big|_{r=a\sqrt{3}/4}, \quad f'_{22}/r \cdot m \Big|_{r=a/2},$$

где $f_{12}(r)$ и $f_{22}(r)$ — потенциалы взаимодействия ионов Zr—O и O—O соответственно, $f'(r) = df/dr$, $f''(r) = d^2f/dr^2$, m — масса ионов кислорода. В ионной решетке $f_{12}(r) = z_1 \cdot z_2/r$, а $f_{22}(r) = z_2^2/r$, но в этом случае величина $[f''_{12}(r) + 2f'_{12}(r)/r]$ тождественно равна нулю, а $f'_{22}(r)$ отрицательна в силу однозначности зарядов O. Таким образом, понижение энергии при конденсации LO-фононов следует прежде всего связывать с отталкиванием ионов кислорода, разделенных расстоянием $a/2$.

В действительности ZrO_2 не является чисто ионным соединением, а содержит еще и ковалентную составляющую сил связи [4–7]. Более того, при переходе $c \rightarrow t$ эта составляющая несколько увеличивается, приводя к уменьшению эффективных зарядов z_1 и $|z_2|$ [7], а следовательно, к уменьшению и выигрыша в электростатической энергии. Несмотря на это, мы полагаем, что с понижением температуры и уменьшением параметра решетки a нестабильность c -фазы обусловлена именно кулоновским межионным взаимодействием — отталкиванием ионов кислорода, образующих пары. Данное предположение подтверждает то обстоятельство, что именно отталкивание между атомами кислорода ответственно за изменение энергии сцепления в ряду диоксидов HfO_2 , ZrO_2 , TiO_2 и SnO_2 [8]. Это предположение подтверждают и результаты расчетов электронной структуры ZrO_2 при различных параметрах решетки методом LMTO-ПАС. В этом методе кристалл разбивается на сферы Вигнера–Зейтца равновеликого объема, распределение зарядов внутри которых сферически симметрично. Кулоновские поля подобных сфер аналогичны полям точечных ионов.

$$z_i = Z_i - \int_{S_i} \rho_i(r) dr, \quad (2)$$

где Z_i — заряд ядра, а $\rho_i(r)$ — сферически-симметричное распределение заряда в сфере Вигнера–Зейтца радиуса s_i . Следовательно, зарядам z_1 и z_2 , фигурирующим в (1), соответствуют заряды z_i ($i = 1, 2$) из (2). Расчеты показывают (детали см. в [7]), что при уменьшении параметра решетки от $a = 9.96$ до $a = 7.00$ ат. ед. величина z_2^2/r , пропорциональная вкладу в ω^2 моды LO от взаимодействий O—O, увеличивается от 0.38 до 0.51 ат.ед. энергии, подтверждая высказанное выше предположение.

3. В свете изложенного механизм стабилизации кубической фазы ZrO_2 при добавлении оксидов CaO , Y_2O_3 и др. представляется следующим. В силу того, что при замещении ионов циркония на ионы Me^{2+} образуется одна вакансия на каждый замещенный ион циркония, а при замещении на ионы Me^{3+} образуется одна вакансия на каждые два замещенных иона циркония [8], эти вакансы разрежают кислородную подрешетку, уменьшая отталкивание между ее ближайшими узлами. Действительно, как показывают расчеты [7], в ASA-сферах вакансий натекает меньший заряд, чем в соответствующие сферы ионов кислорода до их замещения [7] (уменьшается заряд z_2 ; см. (2)). С другой стороны, в силу присутствия ионов Me^{2+} или Me^{3+} (вместо Zr^{4+}) приток заряда в собственно кислородные ASA-сферах [7] также уменьшается, что дополнительно ослабляет

отталкивание в парах О-О. Таким образом, при наличии добавок CaO, Y₂O₃ и др. перенос заряда от подрешетки металла к подрешетке кислорода уменьшается, что и стабилизирует последнюю относительно конденсации моды LO.

Список литературы

- [1] Negita K. // Acta Met. 1989. V. 37. N 1. P. 313-317.
- [2] Heuer H., Chaim R., Lanteri V. // Acta Met. 1987. V. 35. P. 661-665.
- [3] Ishibashi Y., Dvorak V. // J. Phys. Soc. Jap. 1989. V. 58. N 11. P. 4211-4214.
- [4] Jansen H.J.F., Gardner J.A. // Physica B. 1988. V. 150. P. 10-18.
- [5] Morinaga H., Adachi H., Tsukada M. // J. Phys. Chem. Sol. 1983. V. 44. N 4. P. 301-306.
- [6] Zandiehnadem F., Murray R.A. // Physica B. 1988. V. 150. P. 19-24.
- [7] Наумов И.И., Ольховик Г.А., Великохатный О.И., Апаров Н.Н. // Изв. РАН. Неорганические материалы. 1992. Т. 28. № 4. С. 805-811.
- [8] Medvedeva N.I., Zhukov V.P., Khodos M.Ya., Gubanov V.A. // Phys. Stat. Sol. (b). 1990. V. 60. N 2. P. 517-527.

Институт физики прочности
и материаловедения РАН
Томск

Поступило в Редакцию
9 июня 1992 г.

УДК 541.14

© Физика твердого тела, том 35, № 4, 1993
Solid State Physics, vol. 35, N 4, 1993

О СВЯЗИ МЕЖДУ ЭНЕРГИЕЙ $(\sigma + \pi)$ -ПЛАЗМОНА И УДЕЛЬНОЙ ПЛОТНОСТЬЮ ДЛЯ ТВЕРДЫХ ОБРАЗЦОВ C₆₀

Ю.М.Шульга, А.С.Лобач

Известно, что плазменная частота ω_p для свободного электронного газа определяется концентрацией электронов n

$$\omega_p = (4\pi n e^2 / m)^{1/2}, \quad (1)$$

где e и m — заряд и масса электрона соответственно [1]. Частота плазменных колебаний электронов в твердом теле отличается от соответствующей величины для свободных электронов обычно вследствие поляризации ионного остова. Для частоты плазмона, скорректированного на поляризацию остова, имеем выражение [1].

$$\omega'_p = (4\pi n e^2 / m \epsilon_{core})^{1/2}. \quad (2)$$

Значение ϵ_{core} можно рассчитать из уравнения

$$(\epsilon_{core} - 1) / (\epsilon_{core} + 2) = (4\pi / 3) \left(\sum N_i \alpha_i \right), \quad (3)$$

где N_i — плотность атомов с ионным остовом, имеющим поляризуемость α_i [2].